

Apport des modèles réduits pour la mesure thermique indirecte en temps réel dans un four rayonnant

Benjamin GAUME, Yassine ROUIZI, Frédéric JOLY, Olivier QUEMENER

LMEE, Univ Evry, Université Paris-Saclay, 91020 Evry, France.

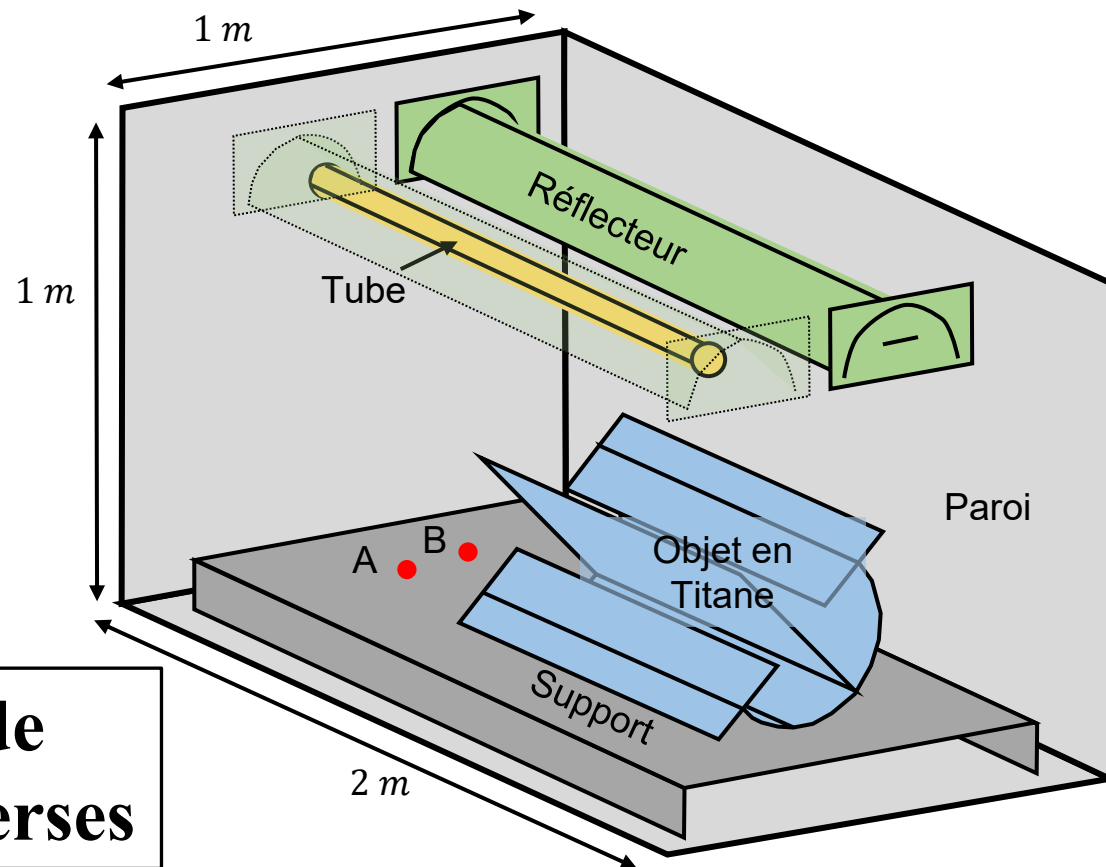
Auteur coorespondant : b.gaume@iut.univ-evry.fr



- 1. Problématique**
- 2. Problème inverse**
- 3. Réduction de modèle**
- 4. Identification de la source de chaleur et reconstruction du champ de température**

PROBLÉMATIQUE

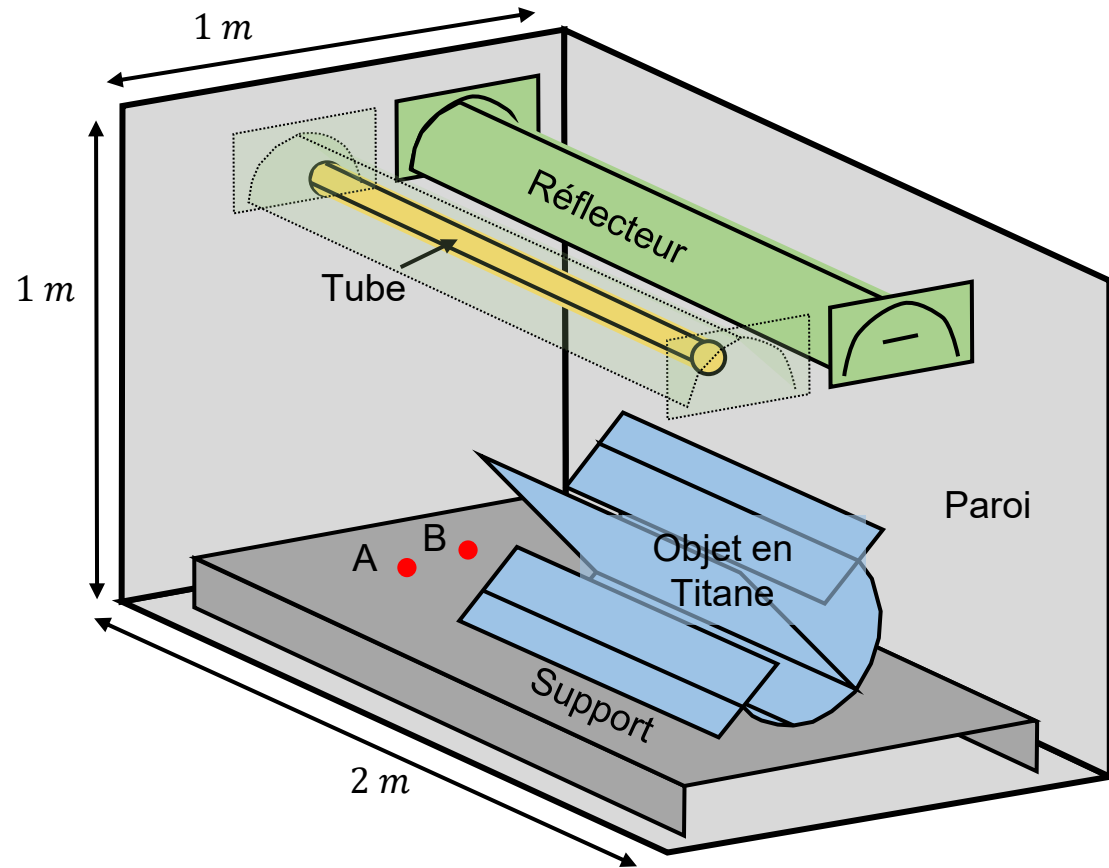
Position du problème : obtenir le suivi en T° de toute la pièce à partir de quelques points de mesure au niveau du four en temps réel



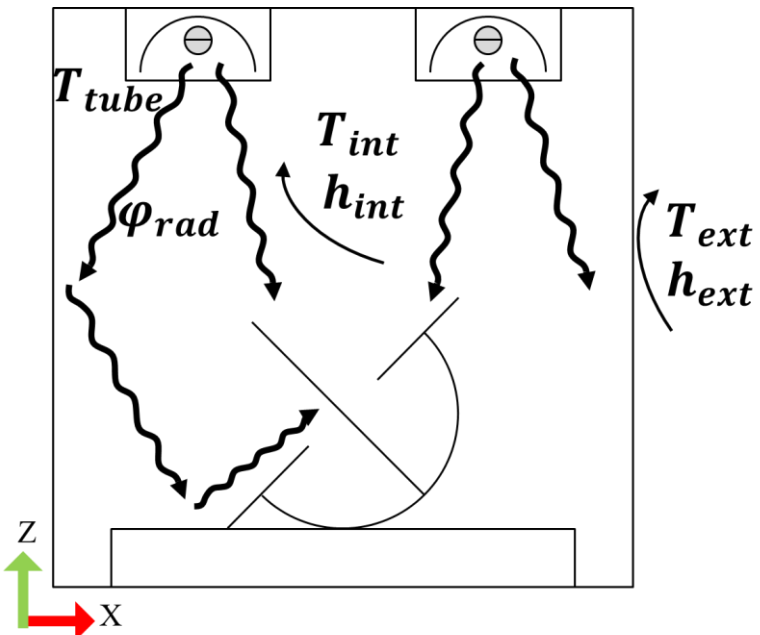
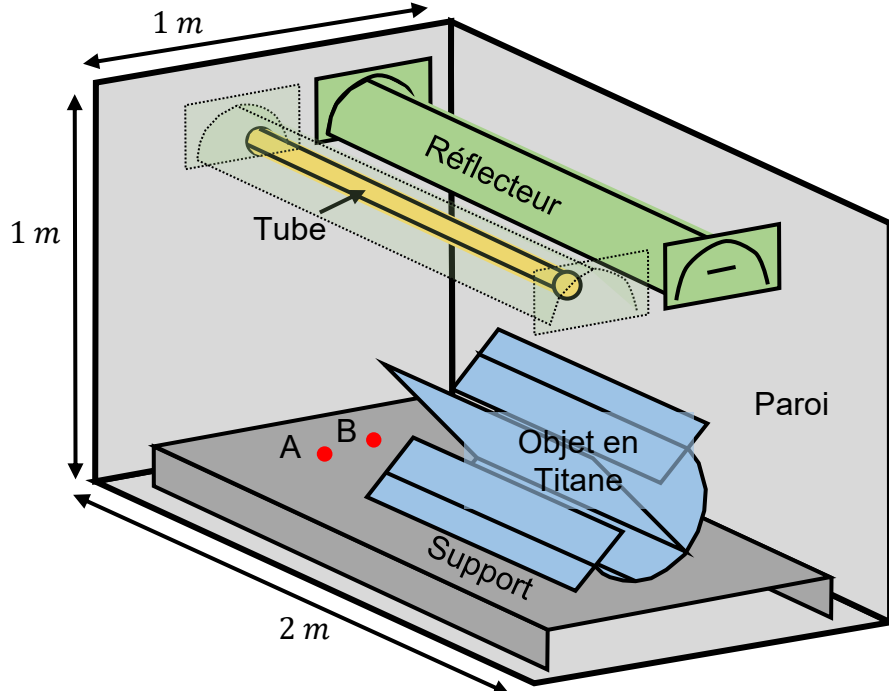
**Utilisation de
problèmes inverses**

Objectifs :

1. Identification des sources radiatives (températures)
2. Reconstruction du champ thermique au niveau de l'objet



Problème physique:



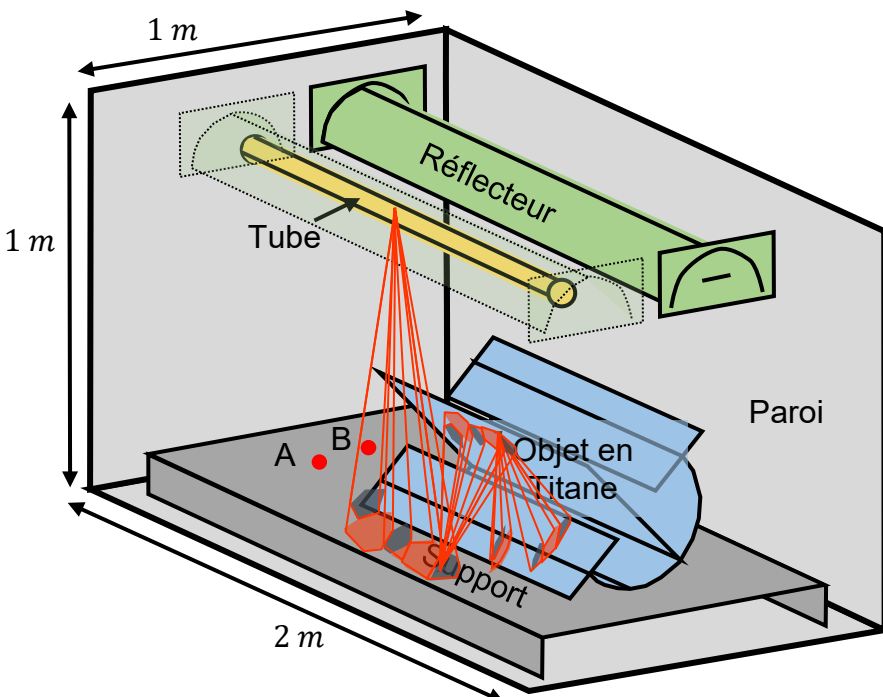
Formulation discrète

$$\dot{\mathbf{T}} = [\mathbf{K} + \mathbf{H}]T + \mathbf{U}_0 + \mathbf{U}_{cpl}T_{int}(T) + \bar{\mathbf{R}}_{rad}\bar{\mathbf{T}}^4 + T_{gaz}(t)\mathbf{U}_{tube}$$

Avec les équations couplées :

- Pour la convection : $T_{int}(\mathbf{T}) = \mathbf{DT}$
- Pour le rayonnement : $\bar{\mathbf{T}} = \mathbf{U}_R^t \mathbf{T}$**

Problème physique : Processus complexe et long



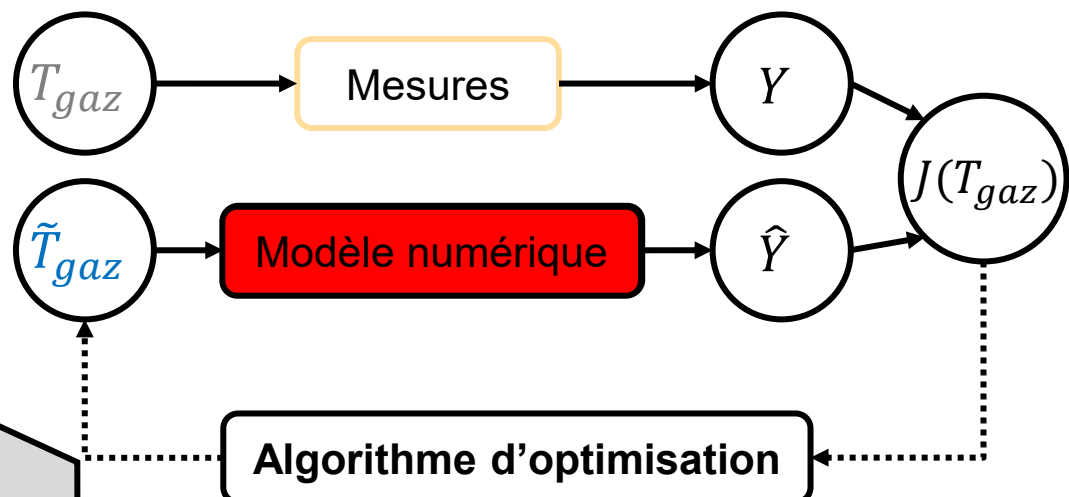
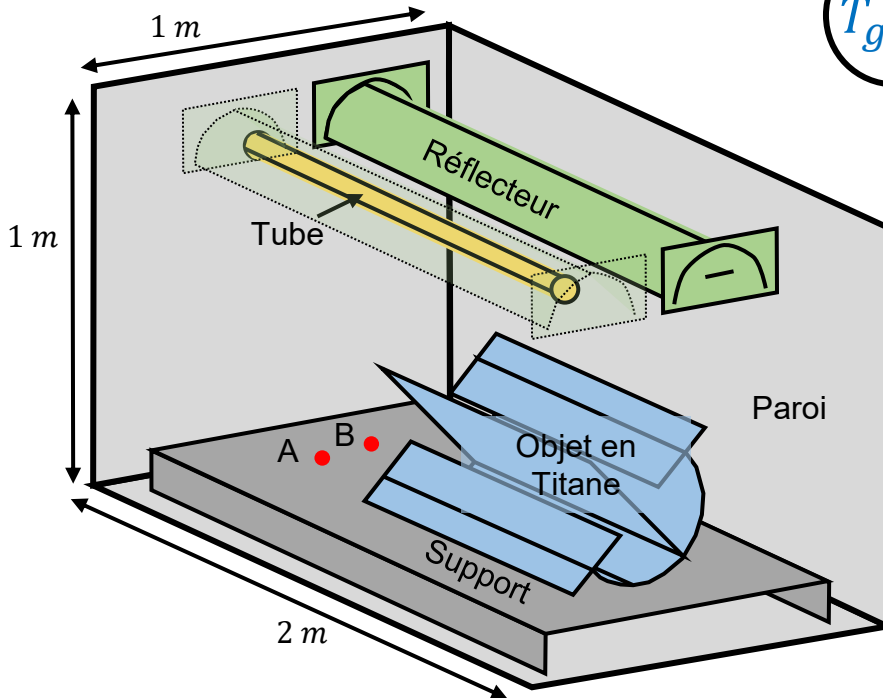
Spécificités du problème

- Rayonnement : [44 838 DDL]
- Média non participatif
- Corps gris diffus isotropes
- Modèle coque : [12 167 DDL]
- Couplage convectif

PROBLÈME INVERSE

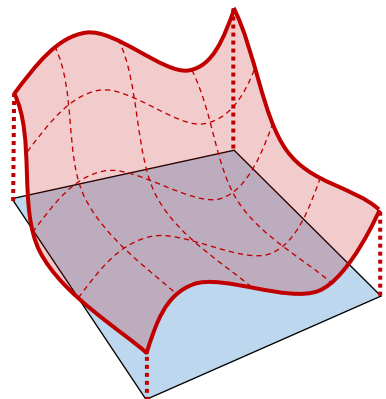
Difficultés :

1. Processus complexe et t_{CPU}
2. Identification par technique itérative

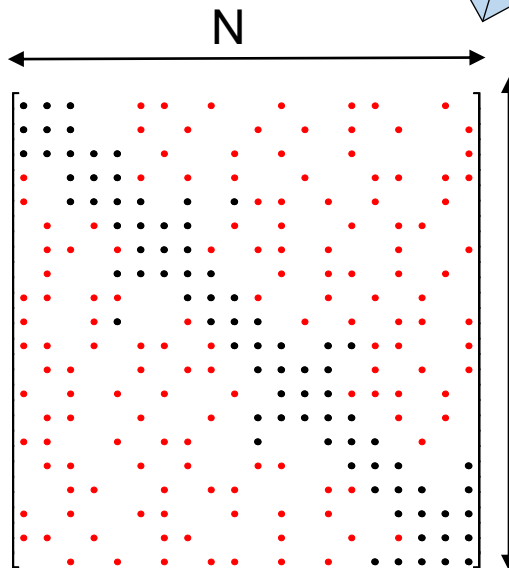
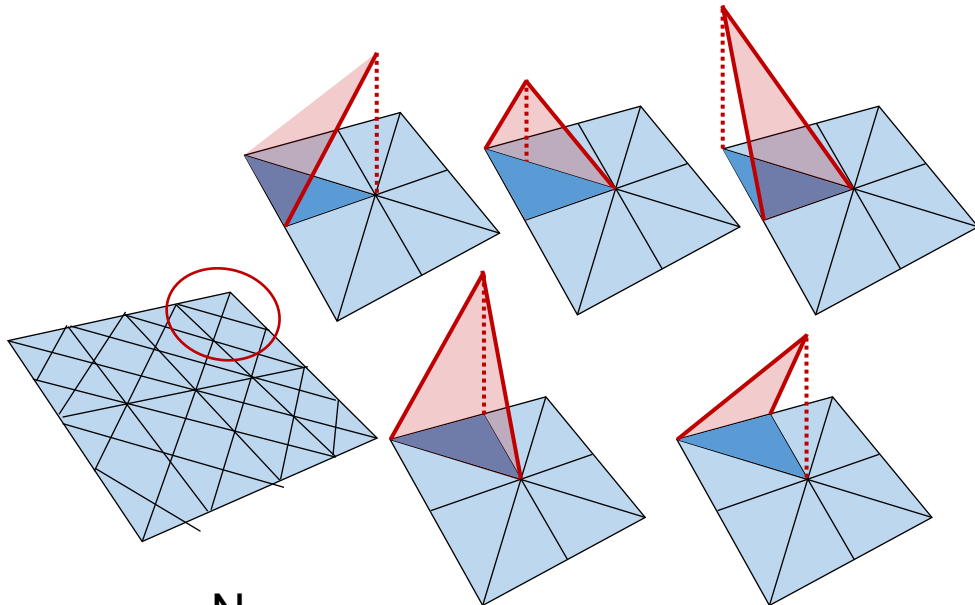


$$\mathcal{J}(T_{gas}) = \sum_{N_{ps}} \sum_{N_t} (\mathbf{Y}(t) - \hat{\mathbf{Y}}(T_{gas}, t))^2$$

□ Méthode classique : éléments finis



$$= \sum N$$



**DDL importants
et matrices
moins creuses**

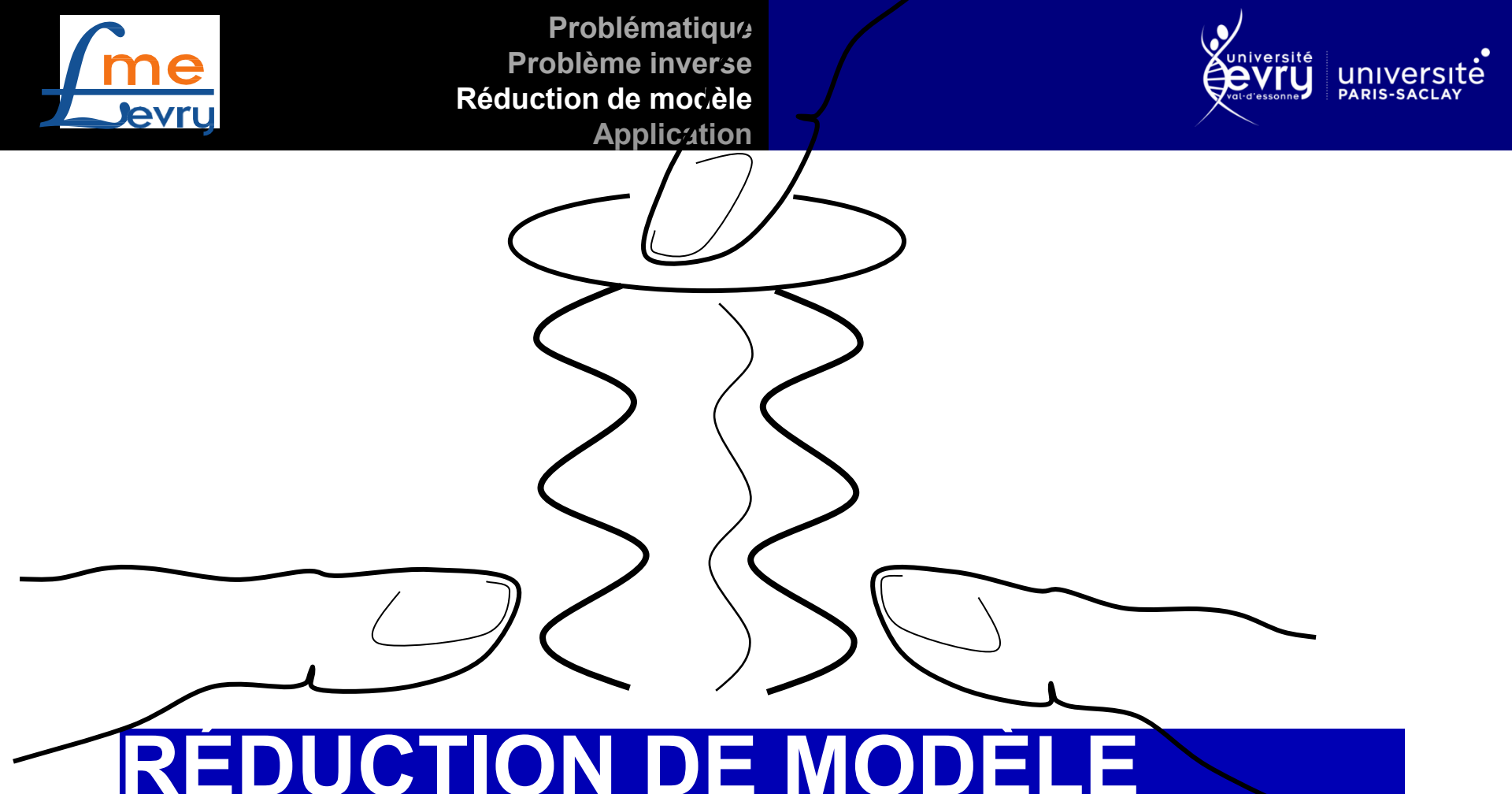
$$\dot{\mathbf{C}}\mathbf{T} = \mathbf{A}\mathbf{T} + \mathbf{U}(t)$$

$$\text{Rayonnement : } D\bar{\varphi} = R\bar{T}^4$$

□ Méthode classique : éléments finis

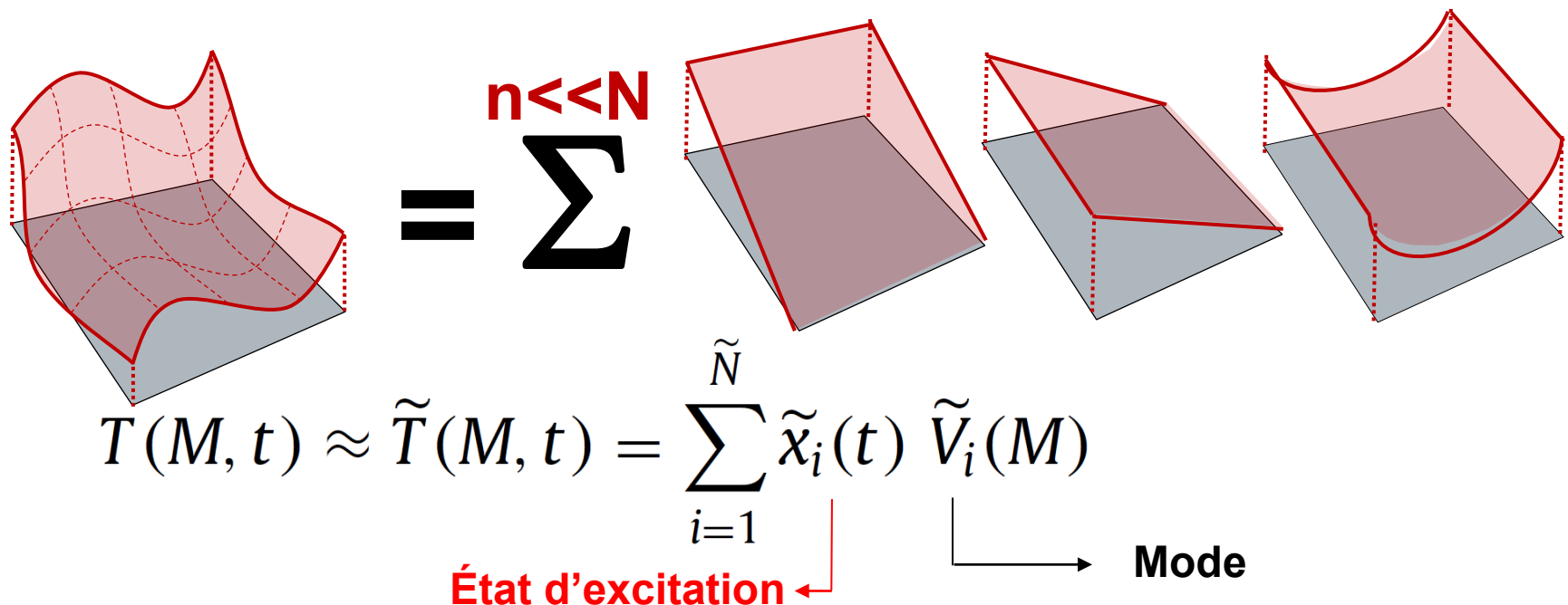
Solutions envisagées :

- Travailler par portion → Fenêtre glissante
- Dégrader le modèle : maillage EF grossier et regroupement de Patch pour les radiosités,...
- Utiliser un modèle réduit



RÉDUCTION DE MODÈLE

□ Alternative : la formulation modale



on remplace N inconnues de Températures T en n états d'excitation x
 En respectant la géométrie du problème, avec $n \ll N$, on obtient une approximation satisfaisante avec un gain important en temps calcul !

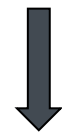
permet de diminuer le DDL par rapport à la géométrie

Principe de la réduction modale

$$\dot{CT} = AT + U(T)$$



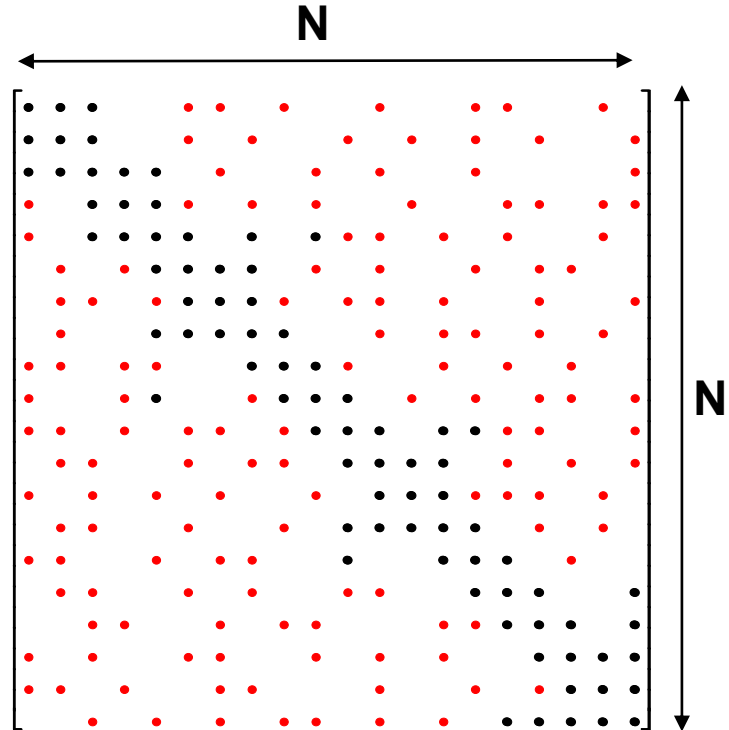
$$V^t C V \dot{X} = (V^t A V) X + V^t U(T)$$



$$L \tilde{X} = \tilde{M} \tilde{X} + N(T)$$

$$\tilde{T} = \tilde{V} \tilde{X}$$

$$L = \begin{bmatrix} & \xrightarrow{n} \\ \downarrow & \end{bmatrix}$$

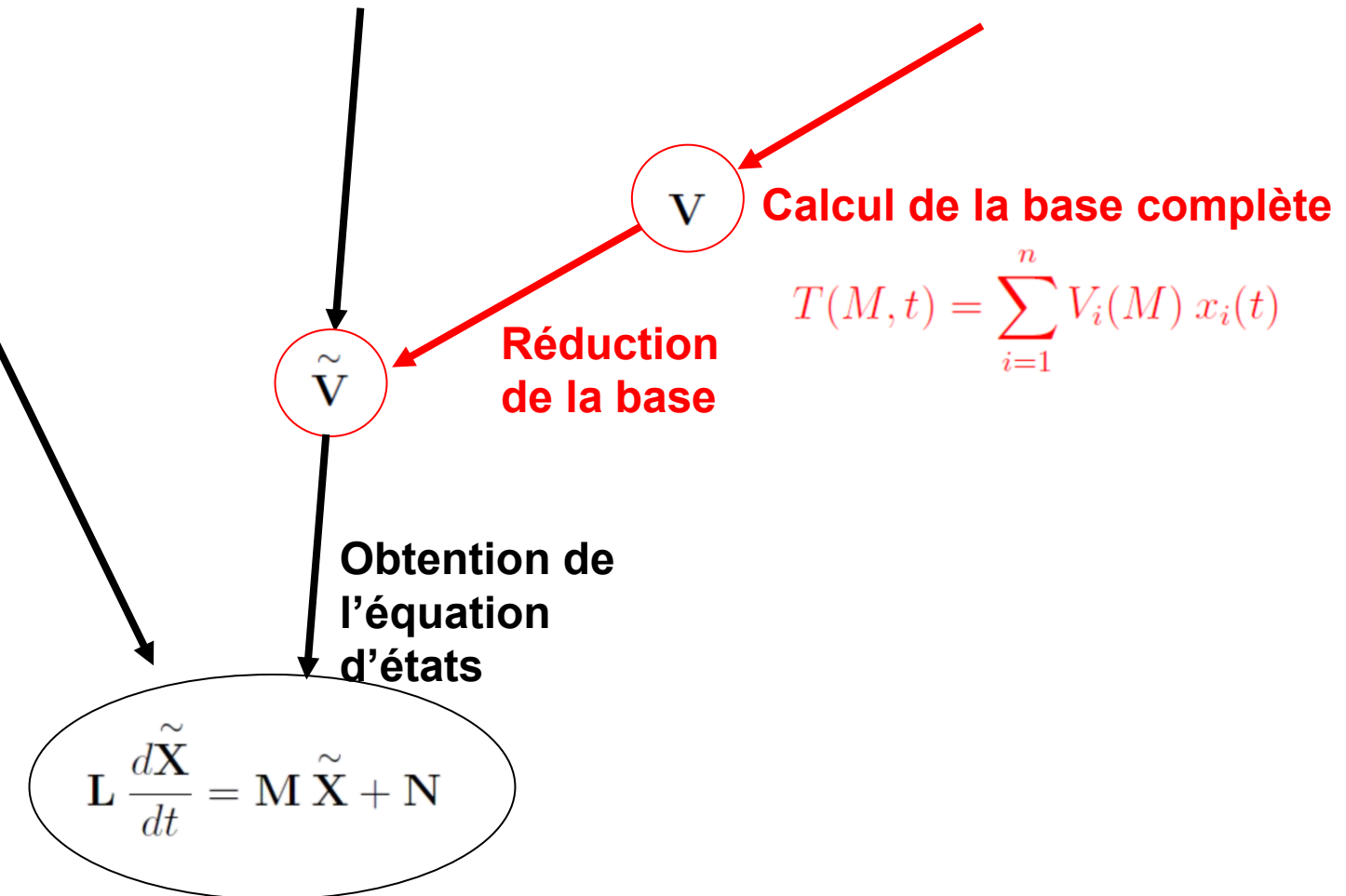


En respectant la géométrie du problème, avec $n \ll N$, on obtient une approximation satisfaisante avec un gain important en temps calcul !

MIM

POD, PGD

AROMM



Principe de la méthode de la réduction

Le principe la méthode AROMM (Amalgam Reduced Order Modal Model) repose sur deux étapes :

1. Calcul d'une base complète \mathbf{V} , sur laquelle il est possible d'effectuer une décomposition rigoureuse du champ de température

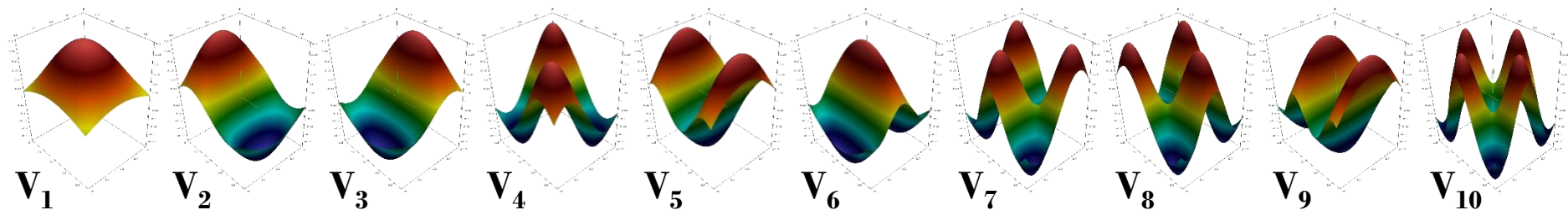
$$T(M, t) = \sum_{i=1}^{\infty} V_i(M) x_i(t)$$

2. L' obtention d'une base réduite $\tilde{\mathbf{V}}$, afin de diminuer fortement l'ordre du modèle tout en permettant un calcul satisfaisant du champ de température

$$\mathbf{T}(t) \approx \sum_{i=1}^{\tilde{n}} \tilde{\mathbf{V}}_i \mathbf{x}_i(t)$$

Simulation de référence
DATA

Réduction de la base modale : Calcul de la base initiale:



Base complète

Base issue du problème physique :

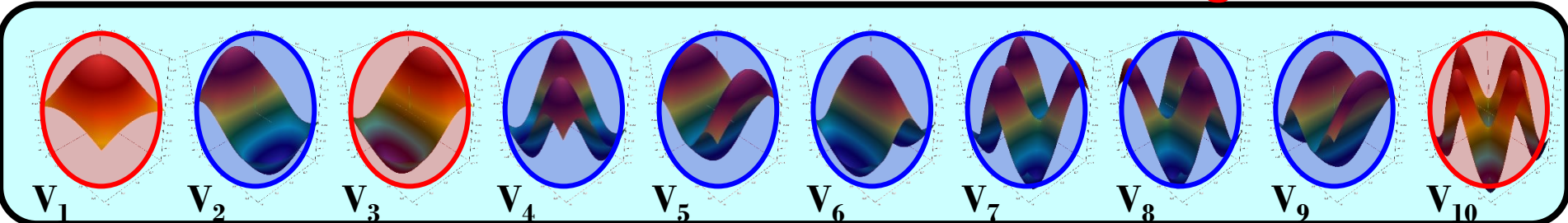
$$-\int_{\Omega} e k \vec{\nabla} V_i \cdot \vec{\nabla} f d\Omega = z_i \int_{\Omega} e c V_i f d\Omega$$

Pour l'amalgame, la base doit toujours respecter les conditions d'orthogonalités :

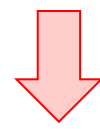
$$\forall i, j \in [1, N], \quad \int_{\Omega} e c V_i V_j d\Omega = \delta_{ij},$$

$$\forall i, j \in [1, N], \quad \int_{\Omega} e k \vec{\nabla} V_i \cdot \vec{\nabla} V_j d\Omega = z_i \delta_{ij}.$$

Réduction de la base modale : Méthode d'amalgame :

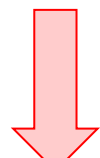


Base complète



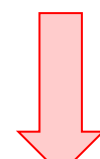
Minimisation selon un critère énergétique:

$$J = \int_{t=0}^{\infty} \int_{\Omega} [T(M, t) - \tilde{T}(M, t)] c_0(M) [T(M, t) - \tilde{T}(M, t)] dv dt$$



En utilisant les propriétés d'orthogonalités:

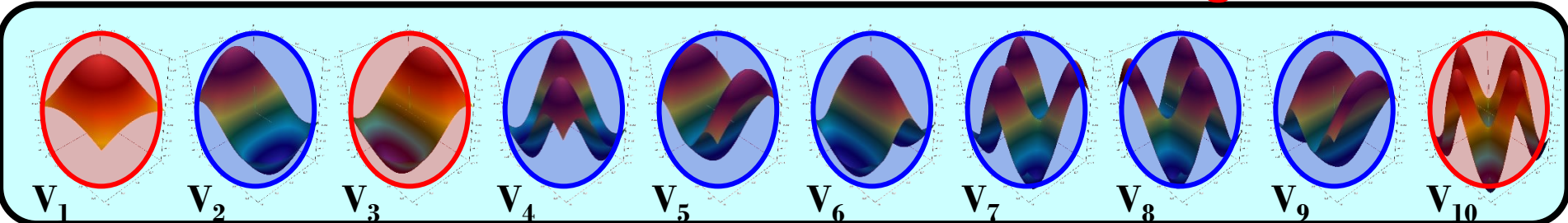
$$J = \sum_{P=1}^{\tilde{N}_1} \sum_{k=1}^{n_P} \varepsilon_{P,k} \quad \text{avec} \quad \varepsilon_{P,k} = \int_0^{\infty} (x_{P,k} - \alpha_{P,k} x_{P,1})^2 dt$$



Le coefficient d'amalgame s'exprime comme :

$$\alpha_{P,k} = \frac{\int_0^{\infty} x_{P,k} x_{P,1} dt}{\int_0^{\infty} x_{P,1}^2 dt}$$

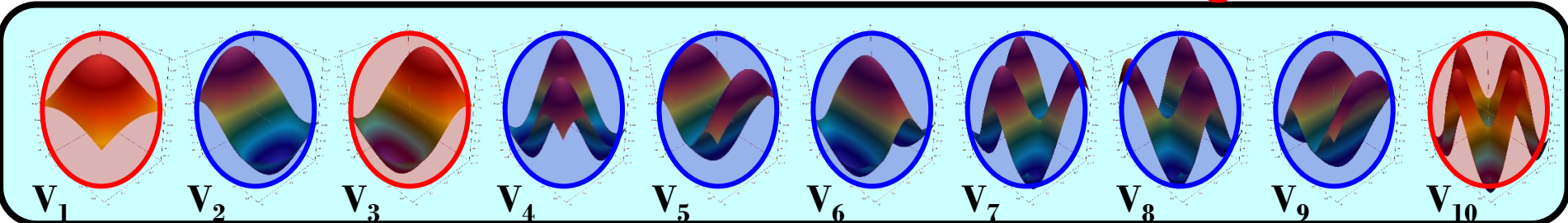
Réduction de la base modale : Méthode d'amalgame :



Base complète

**Processus
d'amalgame**

Réduction de la base modale : Méthode d'amalgame :



Base complète



Processus
d'amalgame

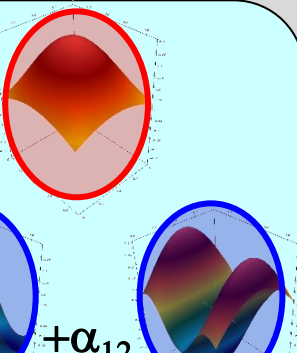
DATA !!

- Tous les modes sont utilisés une seule fois
- Processus rapide
- Minimisation sur un critère énergétique des états
- Nécessite la connaissance des états de référence
- La simulation de référence peut être enrichie

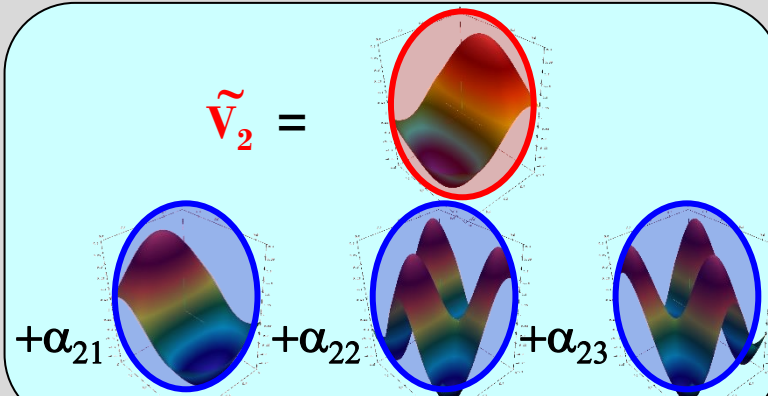
Base réduite



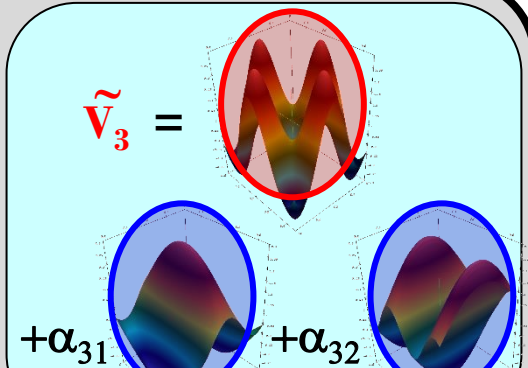
$$\tilde{V}_1 =$$



$$\tilde{V}_2 =$$

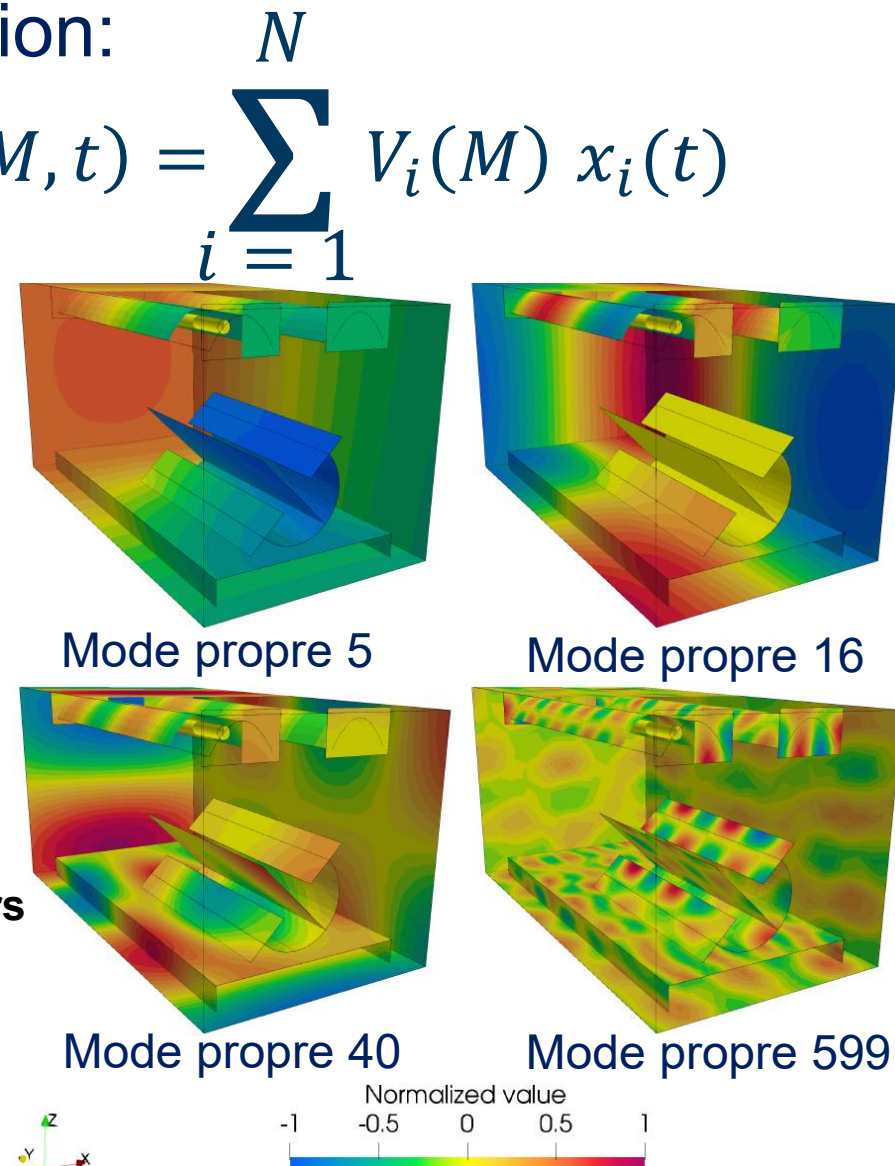
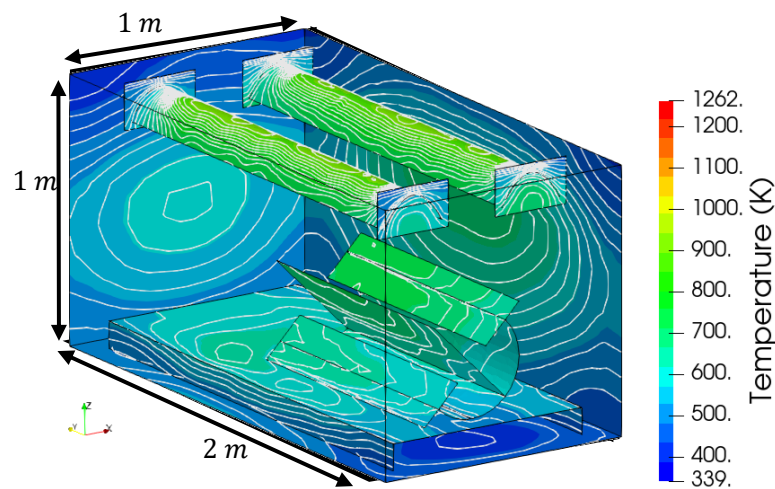


$$\tilde{V}_3 =$$



Application de la réduction:

- Méthode **AROMM**: $T(M, t) = \sum_{i=1}^N V_i(M) x_i(t)$

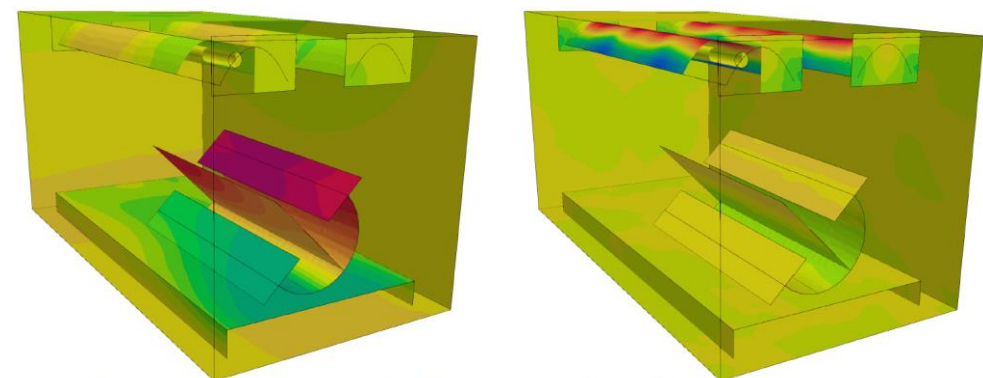
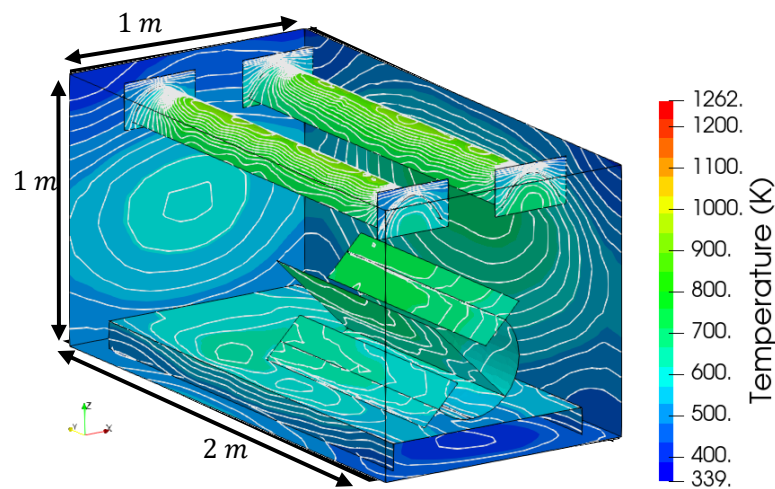


Simulation de référence

- Toutes les surfaces = corps-noirs
- Durée de simulation courte
- Température de tube fixe

Application de la réduction: $\tilde{n} \ll N$

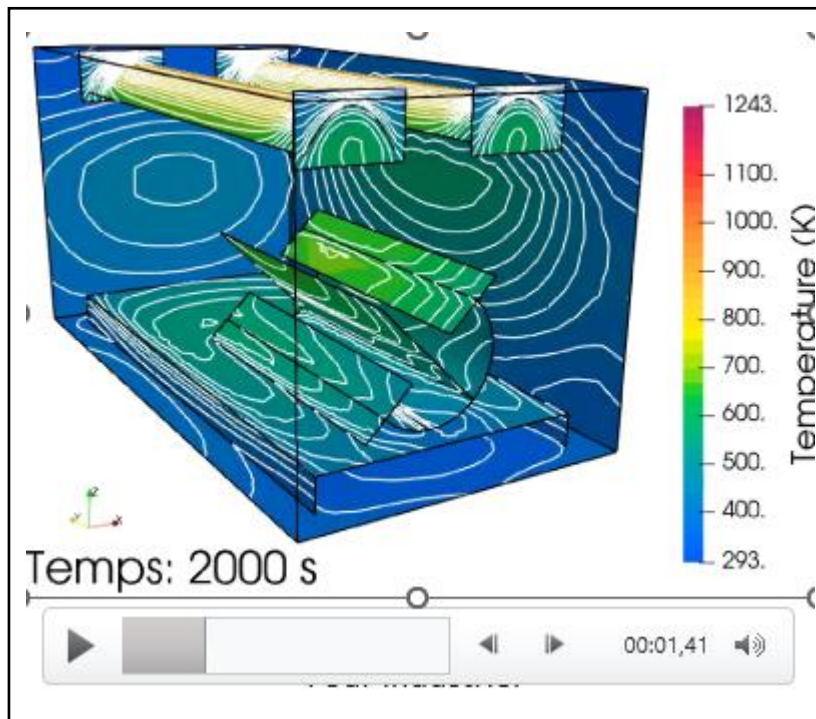
- Méthode **AROMM**: $\tilde{T}(M, t) = \sum_{i=1}^{\tilde{n}} \tilde{V}_i(M) \tilde{x}_i(t)$



Simulation de référence

- Toutes les surfaces = corps-noirs
- Durée de simulation courte
- Température de tube fixe

Validation du modèle réduit



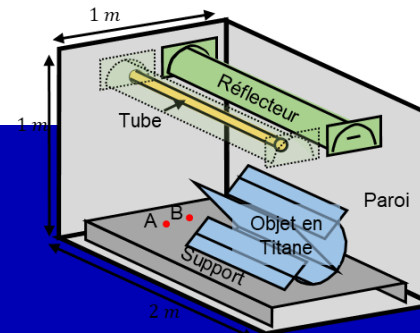
Four industriel

MR d'ordre 200 :
Gain de temps calcul $\times 100$

Précision : $\varepsilon_{max} \approx 3\% (< 26^\circ C)$
 $\langle \varepsilon \rangle \approx 0.1\% (< 1^\circ C)$

B. Gaume, F. Joly and O. Quéméner, *Modal reduction for a problem of heat transfer with radiation in an enclosure*, Int. J. Heat Mass Transfer, 141 (2019) 779-788

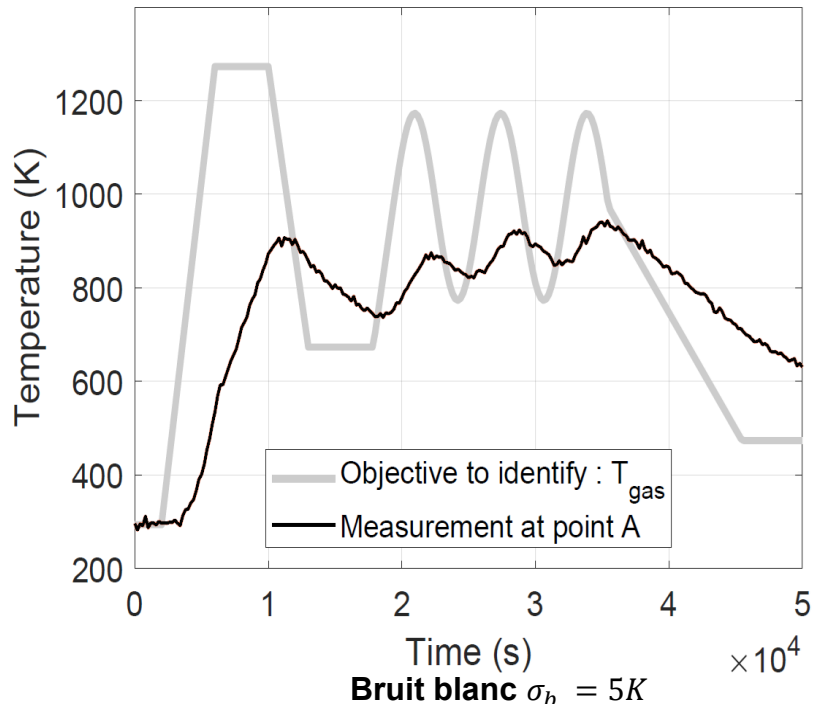
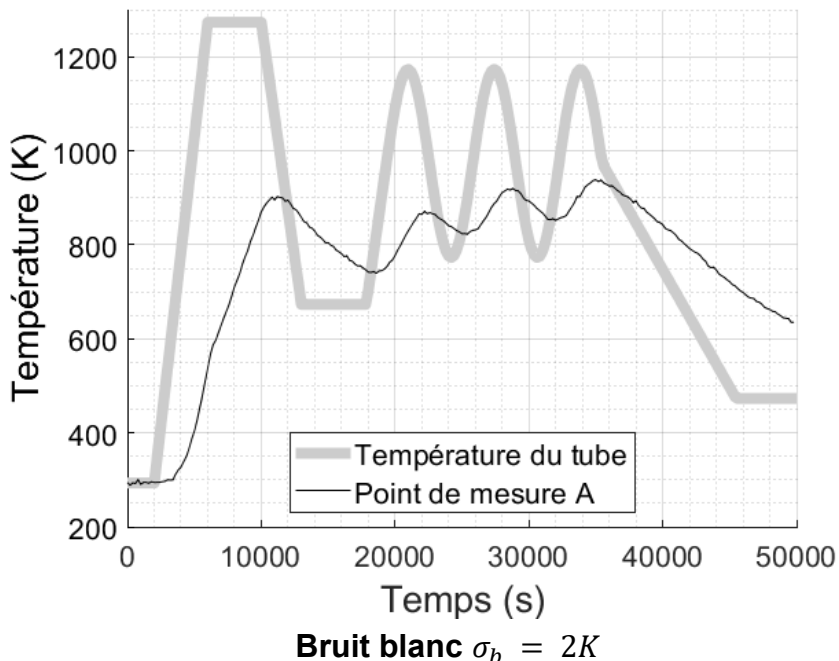
APPLICATION



Processus d'identification

1. Mesures :

- Données générées par simulation EF
- 2 points de mesure A et B
- Bruit blanc $\sigma_b = 2K$ et $5K$

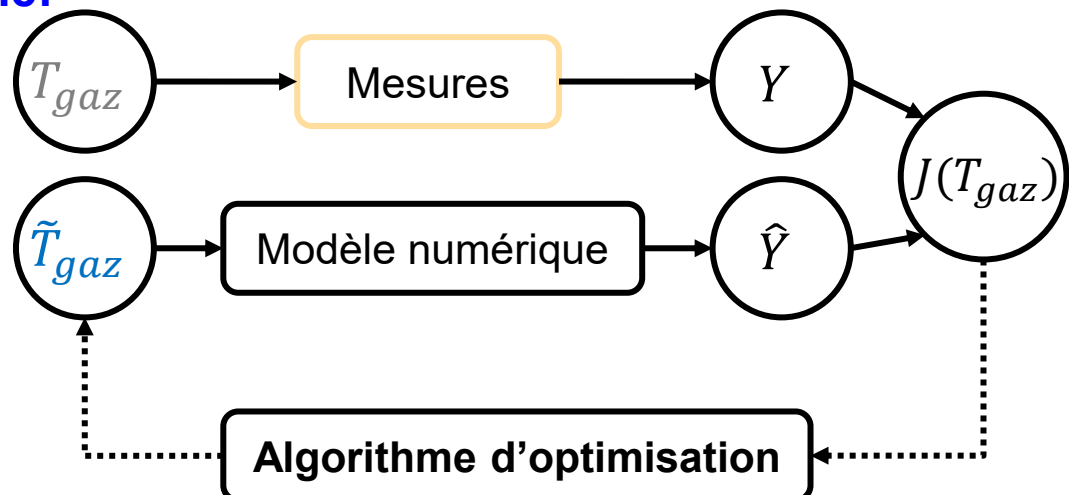


Evolution de la température du tube à identifier et du point de mesure A

Processus d'identification

2 Identification avec ordre très faible:

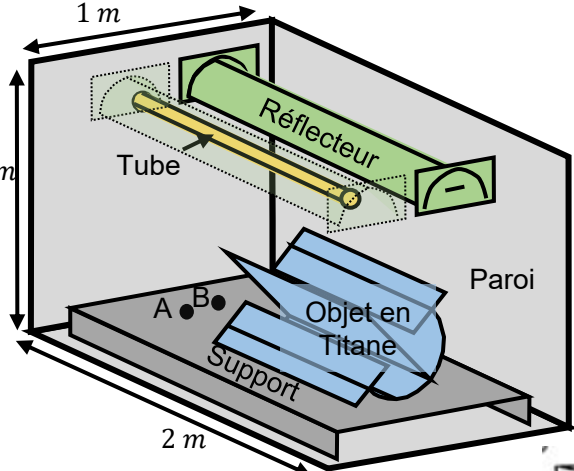
- Modèle réduit $\tilde{N}_{id} = 20/50$ modes
- Algorithme de région de confiance
- Utilisation d'une fenêtre glissante



3 Reconstruction avec ordre faible :

- Modèle réduit $\tilde{N}_{rec} = 20$ à 300 modes
- Reconstruction en temps réel possible

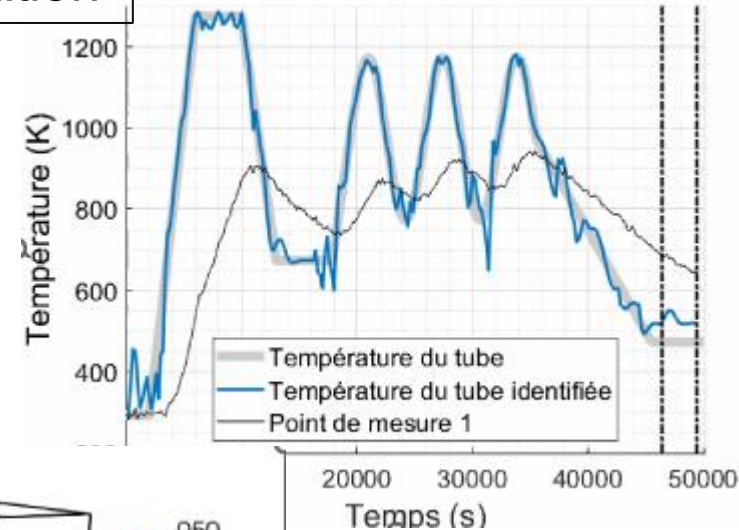
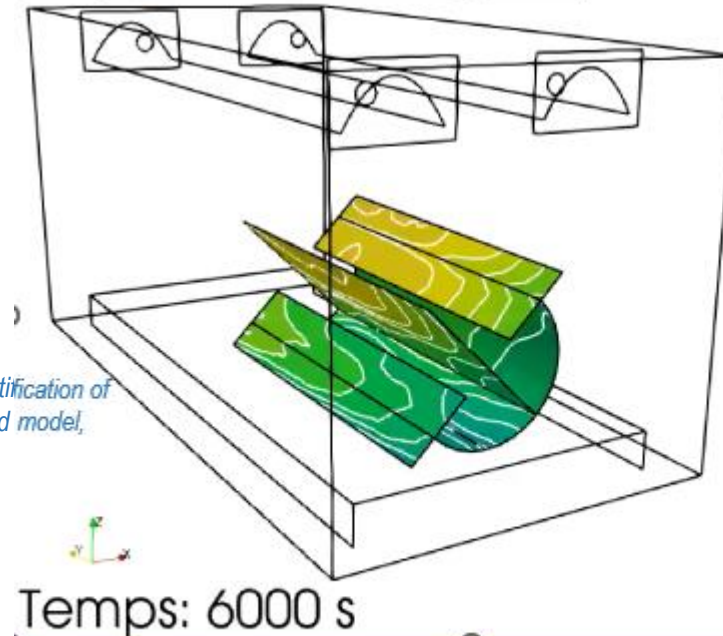
Processus d'identification



2 Identification

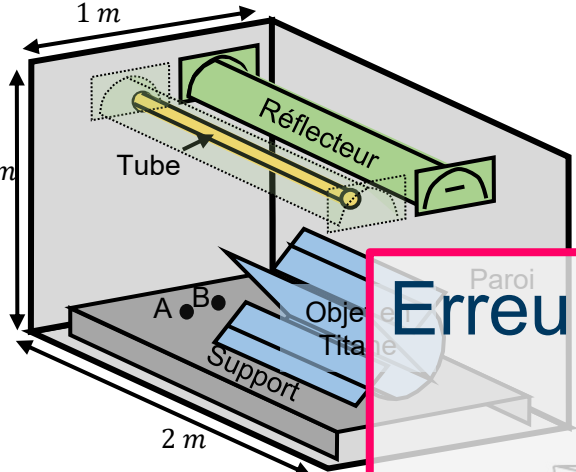
1 Mesures

3 Reconstruction



B. Gaume, Y. Rouizi, F. Joly, O. Quéméner, *Identification of variable radiant source in an enclosure by reduced model*, Int. J. Heat Mass Transfer (2021)

Processus d'identification



1 Mesures

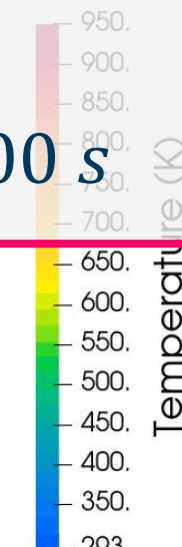
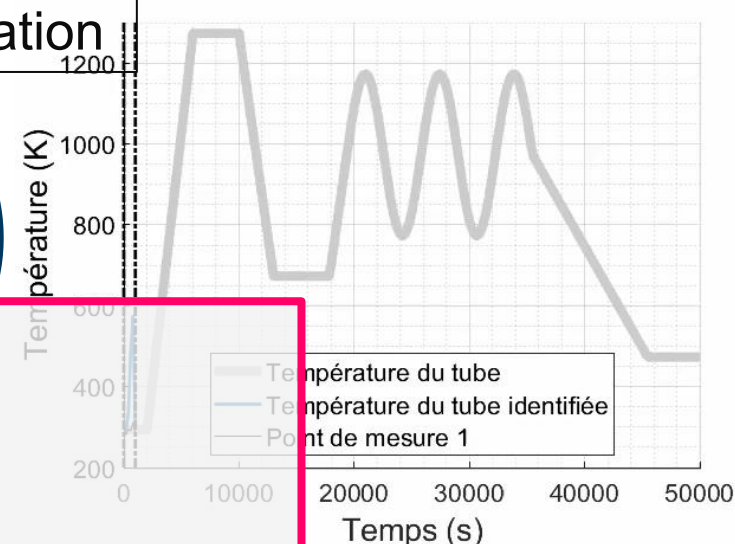
2 Identification

Erreurs sur l'objet :

$$3 \quad \sigma_{max} = 38K$$

$$\bar{\sigma} = 1,92K$$

Temps du process < 5000 s



Temps: 0 s

B. Gaume, Y. Rouizi, F. Joly, O. Quéméner, Identification of variable radiant source in an enclosure by reduced model, Int. J. Heat Mass Transfer (2021)

Conclusions

- **Intérêt des modèles réduits dans un processus d'identification**
 - ✓ Utilisable pour tous types de problèmes
 - ✓ Facilement adaptable
 - ✓ Permet le calcul en temps réel
 - ✓ Accès à l'ensemble du champ de température
- **Limites :**
 - ✓ Géométrie fixe
 - ✓ Non linéarités (passage dans l'espace des températures récurrent)
- **Perspectives :**
 - ✓ Contrôle en temps réel
 - ✓ Identification multi-sources
 - ✓ Améliorer la procédure d'amalgame en intégrant la phase de réduction dans la procédure inverse.
 - ✓ Intégrer d'autres méthodes de réduction pour la phase d'identification

Apport des modèles réduits pour la mesure thermique indirecte en temps réel dans un four rayonnant

Merci de votre
attention

